

УДК 535.37 : [539.19 + 541.49]

СПЕКТРАЛЬНО-ПОЛЯРИЗАЦИОННОЕ ИССЛЕДОВАНИЕ  
ЛЮМИНЕСЦЕНЦИИ МЕЗОФЕОФИТИНА *a*, ХЛОРИНА *e<sub>6</sub>*  
И ИХ МЕТАЛЛОКОМПЛЕКСОВ

*C. C. Дворников, B. N. Кнюкшто и K. N. Соловьев*

Измерены спектры фосфоресценции, флуоресценции, длительность фосфоресценции и квантовые выходы флуоресценции и фосфоресценции (при 77 К) мезохлорофилла *a*, Mg-хлорина *e<sub>6</sub>* и ряда их производных. Квантовый выход фосфоресценции составляет величину  $\sim 3 \cdot 10^{-5}$  для мезофеофитина *a*, мезохлорофилла *a* и хлорина *e<sub>6</sub>*,  $8 \cdot 10^{-5}$  для Zn-мезофеофитина *a* и Zn-хлорина *e<sub>6</sub>*. Рассчитаны вероятности излучательных и безызлучательных переходов, определяющие скорость дезактивации энергии нижнего триплетного состояния. На основании измерения поляризационных спектров флуоресценции и фосфоресценции интерпретированы электронные спектры поглощения всех исследованных соединений, определена природа нижнего триплетного состояния и установлены механизмы излучательных интеркомбинационных переходов. На основании полученных данных произведена оценка положения *T<sub>2</sub>* уровня ( $12\,200\text{ см}^{-1}$ ) для формы хлорофилла *a* с координационным числом атома Mg, равным 5.

В наших последних работах [1-4], посвященных исследованию поляризованной люминесценции хлорофиллов и их цинковых аналогов, была обнаружена специфическая чувствительность уровней *S<sub>2</sub>* и *T<sub>2</sub>* этих соединений к экстракоординации, приводящая к значительному понижению энергии уровней *S<sub>2</sub>* и *T<sub>2</sub>* при повышении координационного числа атома Mg от 5 до 6. В результате этого в молекулах хлорофиллов *a* и *b* нижним по энергии триплетным уровнем становится уровень *T<sub>2</sub>*, родственный синглетному уровню *S<sub>2</sub>*. В случае цинковых комплексов феофитинов *a* и *b* было обнаружено испускание с двух близкорасположенных триплетных уровней (дуальная фосфоресценция) [2].

Эта особенность молекул хлорофиллов позволила объяснить ряд экспериментально наблюдаемых фактов: повышенное значение *S* — *T* интервала у хлорофиллов по сравнению с рядом других металлокорфиринов, значительное возрастание выхода флуоресценции при понижении температуры или при переходе к более сильным электронно-донорным растворителям, малое увеличение вероятности излучательной дезактивации состояния *T<sub>1</sub>* при переходе от Mg-к Zn-феофитину. Эта особенность хлорофиллов должна, по-видимому, иметь биологическое значение.

Для выяснения причин наблюдаемых явлений следует детально изучить влияние различных структурных факторов в хлорофиллоподобных молекулах на их электронную структуру. Несомненно и то, что обнаруженные особенности нуждаются в дальнейшем изучении.

С этой целью в настоящей работе проведено экспериментальное исследование мезохлорофилла *a*, Mg-хлорина *e<sub>6</sub>*, структурные формулы которых представлены на рис. 1, и ряда их производных (мезофеофитина *a*, Zn-мезофеофитина *a*, хлорина *e<sub>6</sub>*, Zn-хлорина *e<sub>6</sub>*). Мезохлорофилл *a* в структурном отношении отличается от хлорофилла *a* тем, что в положении 2 винильная группа восстановлена до этильной. В случае хлорина *e<sub>6</sub>* имеют место более значительные изменения структуры молекулы: разомкнуто

цикlopентаноновое кольцо, отщеплен фитольный «хвост». (Нами исследовался хлорин  $e_6$  в форме триметилового эфира, рис. 1).

Мезофеофитин  $a$  получался обработкой мезохлорофилла  $a$  3%-й соляной кислотой. Цинковые комплексы хлорина  $e_6$  и мезофеофитина  $a$  получены по модифицированной методике [5], магниевый комплекс хлорина  $e_6$  по методике работы [6]. Все соединения хроматографировались на сахарозе. Для проверки того, что в процессе получения металлокомплексов не происходит изменения структуры исследованных соединений, производилось обратное получение хлорина  $e_6$  и мезофеофитина  $a$ , свободных от металлов, и сравнение их по спектрально-люминесцентным свойствам с исходными. Спектры поглощения, возбуждения люминесценции, флуоресценции и фосфоресценции в обоих случаях были тождественны.

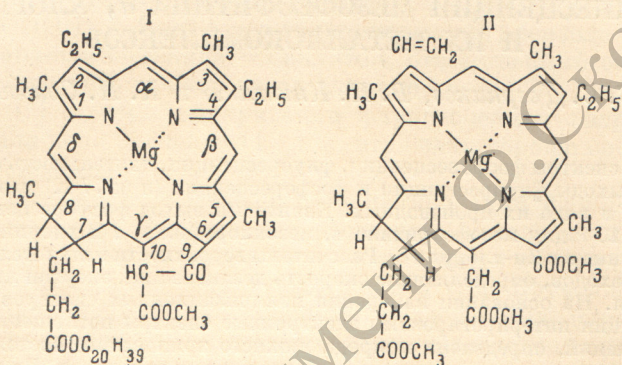


Рис. 1. Структуры исследованных соединений.

I — мезохлорофилл  $a$ ; II — Mg-хлорин  $e_6$ .

Спектрально-люминесцентные характеристики и длительность фосфоресценции измерены на установках, описанных в работе [4]. Методика поляризационных измерений описана в работе [7].

На рис. 2, 3 представлены спектры поглощения всех исследованных соединений, измеренные при 77 К, и низкотемпературные поляризационные спектры флуоресценции и фосфоресценции. Низкотемпературные спектры поглощения хлорина  $e_6$  (рис. 2, а) и мезофеофитина  $a$  (рис. 3, а), как и в случае феофитина  $a$ , отличаются от спектров при комнатной температуре лишь сужением и незначительным (1—3 нм) батохромным сдвигом полос поглощения. Первый электронный переход у хлорина  $e_6$  расположен при 664 нм, у мезофеофитина  $a$  — при 652 нм (при 77 К). Анализ поляризационных данных и зеркальной симметрии спектров поглощения и флуоресценции показывают, что 0—0-полоса второго электронного перехода у обоих соединений расположена при 530 нм. Форма спектров и энергии электронных переходов у хлорина  $e_6$ , мезофеофитина  $a$  и феофитина  $a$  (0—0-полоса первого электронного перехода — 664 нм, 0—0-полоса второго электронного перехода — 534 нм) близки, т. е. произведенные нарушения хлорофильной структуры слабо изменяют  $\pi$ -электронное облако. В области полосы Соре поляризационные данные показывают наличие двух электронных переходов аналогично феофитину  $a$  [1]. Значение степени поляризации ( $P_{\text{ф.л.}}$ ) — 23% у мезофеофитина  $a$ , измеренное при возбуждении в полосе 530 нм ( $S_0 \rightarrow S_2$ ), незначительно отличается от теоретически предельного значения — 1/3 для взаимноперпендикулярных осцилляторов излучения и поглощения. У хлорина  $e_6$  во втором электронном переходе  $P_{\text{ф.л.}} — 3\%$ .

Следует отметить, что интенсивность 0—0-полосы второго электронного перехода у хлорина  $e_6$  несколько ниже, чем у феофитина  $a$  и мезофеофитина  $a$ , и значительное отличие от предельного значения — 1/3

может быть обусловлено перекрытием 0—0-полосы второго электронного перехода с колебательными спутниками первого электронного перехода, которым соответствуют положительные значения  $P_{\text{фл.}}$ . Однако возможно и другое объяснение, а именно заметное отличие от 90-градусного угла между осцилляторами первого и второго электронного перехода.

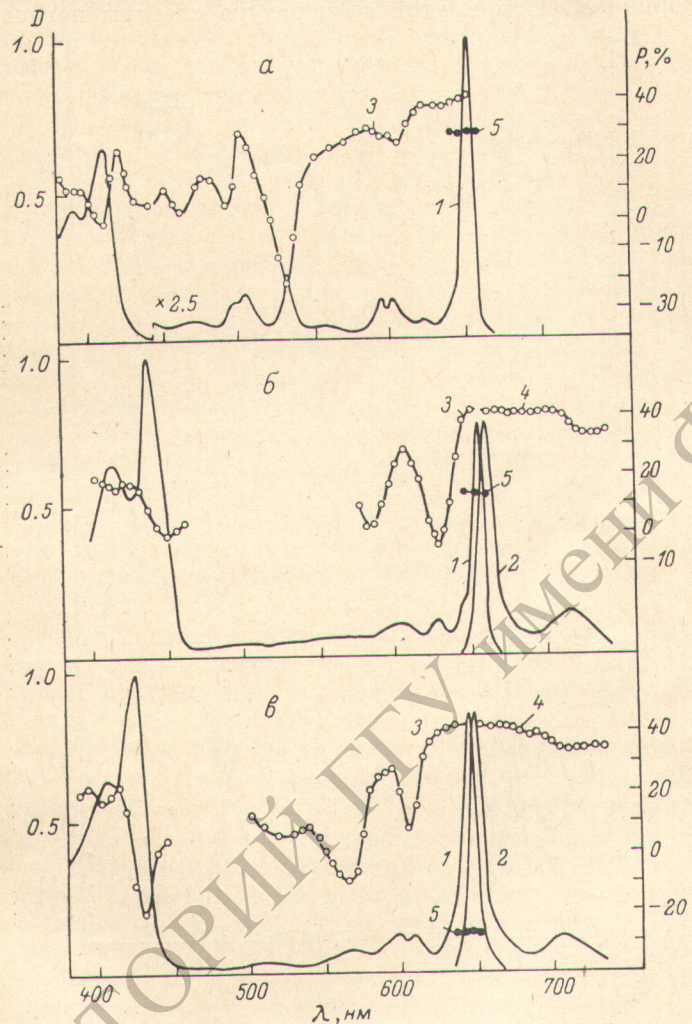


Рис. 2. Спектры поглощения (1), флуоресценции (2), поляризационные спектры флуоресценции (3) [ $\lambda_{\text{пер.}} = 656 \text{ нм}$  (а),  $\lambda_{\text{пер.}} = 660 \text{ нм}$  (б),  $\lambda_{\text{пер.}} = 650 \text{ нм}$  (с)], зависимости степени поляризации от длины волны флуоресценции (4) [ $\lambda_{\text{возб.}} = 654 \text{ нм}$  (б),  $\lambda_{\text{возб.}} = 645 \text{ нм}$  (с)] и поляризационные спектры фосфоресценции (5) [ $\lambda_{\text{пер.}} = 905 \text{ нм}$  (а),  $\lambda_{\text{пер.}} = 925 \text{ нм}$  (б),  $\lambda_{\text{пер.}} = 890 \text{ нм}$  (с)] мезофеофитина а (а), мезохлорофилла а (б) Zn-мезофеофитина а (с) в смеси диэтиловый эфир—петролейный эфир (1 : 1) при 77 К.

Спектры поглощения магниевых комплексов мезофеофитина а (мезохлорофилл а) и хлорина  $e_6$  при понижении температуры трансформируются, как и в случае хлорофиллов, т. е. первый электронный переход испытывает длинноволновой сдвиг на  $\sim 200 \text{ см}^{-1}$ , а второй смещается более значительно  $\sim 1800 \text{ см}^{-1}$ . Как следует из поляризационных данных, у мезохлорофилла а первый электронный переход расположен при 654 нм, второй при 628 нм, у Mg-хлорина  $e_6$  — при 670 и 648 нм соответственно (рис. 2, б и 3, б). В области полосы Соре наблюдаются два электронных перехода. Если последовательность синглетных уровней у Mg-хлорина  $e_6$  в символах Плэтта [8]  $Q_x, Q_y, B_x, B_y$  такая же, как и у хлорофилла а,

то у мезохлорофилла *a* в полосе Соре последовательность обратная:  $B_y, B_x$ .

На рис. 2, *в* и 3, *в* представлены низкотемпературные спектры поглощения и значения степени поляризации, измеренные при регистрации в 0—0-полосе флуоресценции и фосфоресценции для Zn-мезофеофитина *a* и Zn-хлорина  $e_6$ . При низкой температуре спектры поглощения этих

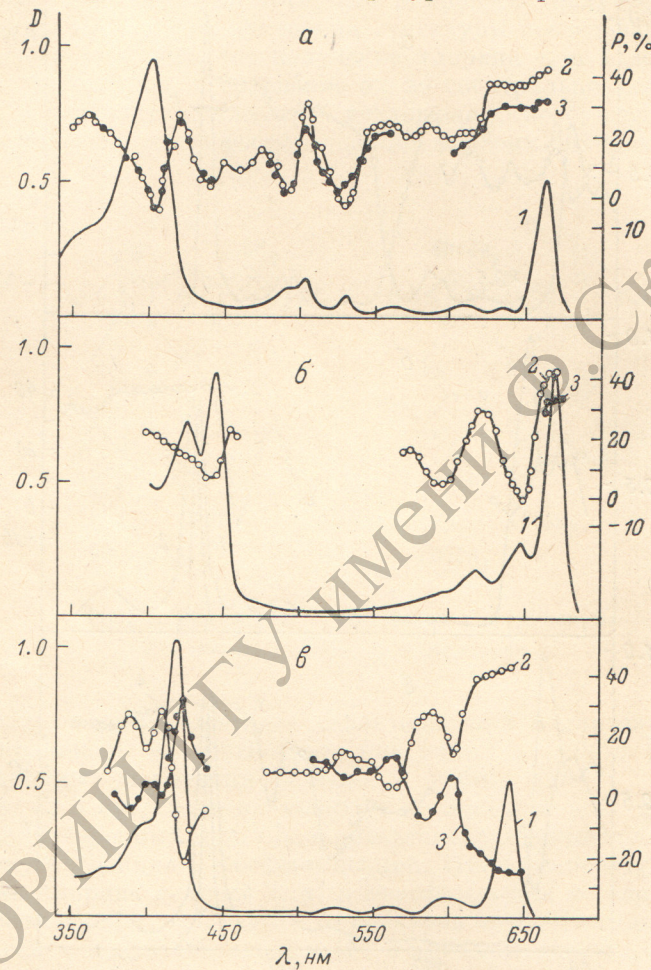


Рис. 3. Спектры поглощения (1), поляризационные спектры флуоресценции (2) [ $\lambda_{\text{пер.}} = 670 \text{ нм}$  (*a*),  $\lambda_{\text{пер.}} = 677 \text{ нм}$  (*b*),  $\lambda_{\text{пер.}} = 650 \text{ нм}$  (*c*)] и поляризационные спектры фосфоресценции (3) [ $\lambda_{\text{пер.}} = 894 \text{ нм}$  (*a*),  $\lambda_{\text{пер.}} = 975 \text{ нм}$  (*b*),  $\lambda_{\text{пер.}} = 872 \text{ нм}$  (*c*)] хлорина  $e_6$  (*a*), Mg-хлорина  $e_6$  (*b*) и Zn-хлорина  $e_6$  (*c*) в смеси диэтиловый эфир—петролейный эфир (1 : 1) при 77 К.

соединений в отличие от мезохлорофилла *a* и Mg-хлорина  $e_6$  имеют практически такой же вид, как и при комнатной, отличаясь лишь несколько меньшей полуширины полос. В области полосы Соре, максимум которой у Zn-мезофеофитина *a* лежит при 427 нм, а у Zn-хлорина  $e_6$  — при 419 нм, поляризационные данные указывают на наличие двух электронных переходов с последовательностью  $B_y, B_x$ . Осцилляторы этих переходов, вероятно, взаимно перпендикулярны, так как несмотря на сильное перекрытие полос, соответствующих этим переходам, значение степени поляризации флуоресценции по полосе Соре изменяется от —20 до +27%. В области 0—0-полосы первого электронного перехода (645 нм у Zn-мезофеофитина *a*, 641 нм у Zn-хлорина  $e_6$ )  $P_{\text{фл.}} = 43\%$ , т. е. близко к теоретически

пределному значению 1/2 для совпадающих по направлению осцилляторов поглощения и испускания. У Zn-мезофеофитина *a* максимумам 607 и 565 нм в спектре поглощения соответствуют минимумы в поляризационном спектре флуоресценции, а при 597 нм наблюдается максимум степени поляризации. В случае Zn-хлорина *e<sub>6</sub>* поляризационный спектр флуоресценции имеет аналогичный вид. Была измерена зависимость степени поляризации от длины волны флуоресценции  $P(\lambda_{\text{фл.}})$  при возбуждении в максимуме 0—0-полосы первого электронного перехода. В обоих случаях зависимость  $P(\lambda_{\text{фл.}})$  имеет вид кривой, плавно спадающей от 42 до 35% и не имеющей явно выраженного минимума степени поляризации. Следует отметить также, что в случае Zn-мезофеофитина *a* в спектре флуоресценции отсутствует полоса, зеркально симметричная полосе поглощения при 607 нм (и аналогично для Zn-хлорина *e<sub>6</sub>*).

В нашей предыдущей работе [2] мы отнесли полосу 565 нм в спектре поглощения Zn-феофитина *a*, которой соответствует минимум в поляризационном спектре, к 0—0-переходу  $S_0 \rightarrow S_2$ . Однако более тщательный анализ частотных интервалов, зеркальной симметрии спектров поглощения и флуоресценции, зависимости степени поляризации от длины волны возбуждения и испускания, а также изменений в положении полос в спектрах поглощения цинковых комплексов в различных растворителях ( $S_1$ - и  $S_2$ -уровни обладают разной чувствительностью к изменению растворителя) позволяет нам, привлекая соображения, которые будут приведены ниже, отнести полосу при 607 нм у Zn-мезофеофитина *a* ко второму электронному переходу, а полосу в области 565 нм к 0—1 вибронному переходу ( $\Delta\nu = 1200 \text{ см}^{-1}$ ). Подобным образом 0—0-полоса второго электронного перехода расположена у Zn-хлорина *e<sub>6</sub>* при 602 нм, а у ранее исследованного [2] Zn-феофитина *a* при 620 нм в смеси петролейный эфир : диэтиловый эфир (1 : 1) при 77 К.

Спектры фосфоресценции исследованных соединений подобны спектрам фосфоресценции ранее исследованных хлорофиллов и их ближайших аналогов [1–4]. Положения максимумов 0—0-полос фосфоресценции приведены в таблице.

Степень поляризации фосфоресценции, измеренная при регистрации в 0—0-полосе фосфоресценции и возбуждении в 0—0-полосе первого электронного перехода ( $P_{\text{фосф.}}^{00}$ ) у мезофеофитина *a* и хлорина *e<sub>6</sub>*, составляет около +30%, и поляризационные спектры фосфоресценции аналогичны поляризационным спектрам флуоресценции (рис. 2, *a* и 3, *a*). Таким образом, поляризационные характеристики фосфоресценции мезофеофитина *a* и хлорина *e<sub>6</sub>* аналогичны характеристикам октаэтилхлорина [7] и феофитина *a* и *b* [1, 3], для которых установлено, что нижнее триплетное состояние отличается по симметрии от нижнего синглетного состояния и имеет ту же симметрию координатной волновой функции, что и состояние  $S_2$ , и, как показано в [7], родственно ему.

В противоположность этому при переходе к цинковым комплексам наблюдаются отрицательные значения  $P_{\text{фосф.}}^{00}$ , близкие к теоретически предельному значению —1/3. У Zn-мезофеофитина *a*  $P_{\text{фосф.}}^{00} = -27\%$ , у Zn-хлорина *e<sub>6</sub>*  $P_{\text{фосф.}}^{00} = -25\%$ , и поляризационный спектр фосфоресценции антибатен поляризационному спектру флуоресценции (рис. 3, *c*). Ранее при исследовании Zn-феофитинов *a* и *b* нами было показано, что за фосфоресценцию ответственны два близкорасположенных триплетных уровня  $T_1$  и  $T_2$ , находящиеся в термическом равновесии [2]. Значения  $P_{\text{фосф.}}^{00}$ , близкие к —1/3, полученные для Zn-мезофеофитина *a* и Zn-хлорина *e<sub>6</sub>* указывают на то, что структурные отличия мезофеофитина *a* и хлорина *e<sub>6</sub>* от феофитина *a* приводят к повышению уровня  $T_2$ , так что у Zn-мезофеофитина *a* и Zn-хлорина *e<sub>6</sub>* уровень  $T_1$  остается единственным фосфоресцентным уровнем, т. е. имеет место такая же ситуация, как и у более простых симметричных металлохлоринов (симметрия  $C_{2v}$ ). Для последних установлено, что симметрия координатной волновой функции нижнего триплетного

состояния  $T_1$  та же, что и нижнего синглетного возбужденного состояния  $S_1$ , поэтому в силу правил отбора для спин-орбитального взаимодействия к состоянию  $T_1$  примешивается состояние  $S_2$  и другие состояния той же симметрии [9]. Полученные результаты по поляризации фосфоресценции Zn-мезофеофитина  $a$  и Zn-хлорина  $e_6$  подтверждают справедливость сделанного ранее вывода [1-3] о применимости правила отбора для спин-орбитального взаимодействия для группы симметрии  $C_{2v}$  в случае хлорофиллов и их цинковых аналогов, а также показывают, что особенности фосфоресценции Zn-феофитинов  $a$  и  $b$  нельзя объяснить наличием в растворе форм (в пределах неоднородно уширенной полосы фосфоресценции), различающихся значениями  $P_{\text{фосф.}}^{00}$ . Отмеченное выше повышение триплетного уровня  $T_2$  при переходе от Zn-феофитина  $a$  к Zn-мезофеофитину  $a$  имеет место и при переходе от хлорофилла  $a$  к мезохлорофиллу  $a$ . Это приводит к тому, что уровень  $T_2$ , который был у хлорофилла нижним триплетным уровнем (нумерация триплетных уровней ведется не в порядке возрастания энергии, а по родству их с соответствующими синглетными уровнями), у мезохлорофилла  $a$  лежит рядом с уровнем  $T_1$ , находясь в термическом равновесии с ним. Иначе говоря, фосфоресценция, наблюдаемая у мезохлорофилла  $a$ , является дуальной, о чем свидетельствует значение  $P_{\text{фосф.}}^{00} = 14\%$ , полученное для мезохлорофилла  $a$ . У Mg-хлорина  $e_6$   $P_{\text{фосф.}}^{00} = 30\%$ , и нижним триплетным уровнем, согласно вышеизложенному, является уровень  $T_2$ , который родственен состоянию  $S_2$ , как и у хлорофиллов  $a$  и  $b$ . На повышение уровня  $T_2$  у мезохлорофилла  $a$  до положения уровня  $T_1$  указывает и значение синглет-триплетного интервала  $\Delta E_{S-T}$  (см. таблицу), которое на  $\sim 200 \text{ см}^{-1}$  меньше, чем у хлорофилла  $a$  в том же растворителе. В случае Zn-мезофеофитина  $a$   $\Delta E_{S-T}$  имеет такое же значение, как и у Zn-феофитина  $a$  [4], что еще раз подтверждает правильность интерпретации данных, полученных при исследовании фосфоресценции Zn-феофитинов  $a$  и  $b$  [2].

#### Спектрально-люминесцентные характеристики при 77 К и вероятности интеркомбинационных переходов

Вещество	Растворитель *	$\lambda_{\text{фл.}}^{00}$ , нм	$\lambda_{\text{фосф.}}^{00}$ , нм	$\Delta E_{S-T}$ , $\text{см}^{-1}$	$P_0^{**}$	$\rho/\varphi$	$\varphi \cdot 10^5$	$\tau_T$ , мс	$p \cdot 10^2$ , $\text{с}^{-1}$	$q \cdot 10^{-3}$ , $\text{с}^{-1}$
Мезофеофитин $a$	ЭП	656	905	4190	0.39	11290	3.45	1.0	5.6	1.0
Мезохлорофилл $a$	ЭП	660	925	4340	0.43	16110	2.7	1.9	2.5	0.53
Zn-мезофеофитин $a$	ЭП	650	890	4150	0.33	4315	7.7	1.9	6.0	0.53
Хлорин $e_6$	ЭП	670	894	3740	0.17	5520	3.07	1.3	2.8	0.77
Mg-хлорин $e_6$	ЭП	677	975	4510	0.44	—	—	—	—	—
Zn-хлорин $e_6$	ЭП	650	872	3920	0.11	1310	8.4	2.7	3.5	0.37

\* ЭП — стекляющаяся при 77 К смесь диэтиловый эфир — петролейный эфир (1 : 1).

\*\* Квантовый выход флуоресценции измерен в толуоле при 293 К с учетом тушения кислородом.

Из данных по положению триплетных и синглетных уровней можно определить величину синглет-триплетного расщепления для мезохлорофилла  $a$   $\Delta E_{S_1-T_1} = 4300 \text{ см}^{-1}$  и  $\Delta E_{S_2-T_2} = 5100 \text{ см}^{-1}$ . Используя значение  $\Delta E_{S_2-T_2}$  для мезохлорофилла  $a$  с учетом того, что  $\Delta E_{S_1-T_1}$  не сильно изменяется при переходе от цинковых комплексов порфиринов и хлоринов к магниевым, можно оценить положение уровня в случае Zn-феофитина  $a$  (положение  $T_2$ -уровня известно нам с точностью  $\sim 100 \text{ см}^{-1}$  в связи с дуальностью фосфоресценции). Такая оценка дает положение второго электронного перехода у Zn-феофитина  $a$  при  $\sim 621 \text{ нм}$ , т. е. находится в хорошем соответствии с отнесением, проведенным выше, где полоса в спектре поглощения при 620 нм была отнесена к 0—0-полосе второго электронного перехода. Таким образом,  $S_2$ -уровень у цинковых комплексов феофитинов, как и у хлорофиллов с координационным числом атома

Mg, равным 6, в использованных растворителях находится значительно ближе к уровню  $S_1$ , чем у хлорофиллов с координационным числом атома Mg, равным 5, т. е. уже при комнатной температуре спектр поглощения Zn-феофитинов трансформирован из-за значительно лучшей способности к комплексообразованию атома Zn по сравнению с Mg. Исходя из интервалов синглет-триплетного расщепления для Zn-феофитина  $a$  [2]  $\Delta E_{S_1-T_1} = -4100 \text{ см}^{-1}$  и  $\Delta E_{S_2-T_2} = -5250 \text{ см}^{-1}$ , можно оценить положение  $T_2$ -уровня у хлорофилла  $a$ . Уровень  $S_2$  у хлорофилла  $a$  с координационным числом атома Mg, равным 6, лежит при  $15\ 700 \text{ см}^{-1}$  (637 нм), и тогда оценка дает положение уровня  $T_2 \sim 10\ 450 \text{ см}^{-1}$  (960 нм), приблизительно совпадающее с экспериментально полученным значением 970 нм. Для хлорофилла  $a$  с координационным числом атома Mg, равным 5, у которого уровень  $S_2$  расположен при 575 нм, получаем уровень  $T_2$  при  $\sim 12\ 200 \text{ см}^{-1}$  (820 нм), т. е. на  $1300 \text{ см}^{-1}$  выше, чем уровень  $T_1$ , положение которого установлено экспериментально при 930 нм [4].

В работе [10] была исследована поляризация фосфоресценции металлокомплексов родопорфирина XV (родо). Для объяснения значения  $P_{\text{фосф.}}^{00} = 0$  в случае Zn-родо предполагалось примешивание синглетных ( $n, \pi^*$ )-состояний группы C=O. Однако этот результат находит естественное объяснение, если предположить, что триплетные уровни  $T_1$  и  $T_2$  у Zn-родо находятся рядом (дуальная фосфоресценция).

В таблице представлены экспериментальные значения квантовых выходов флуоресценции ( $\rho$ ) и фосфоресценции ( $\varphi$ ) и определенные из эксперимента значения вероятностей излучательной ( $p$ ) и безызлучательной ( $q$ ) дезактивации нижнего триплетного состояния. У мезофеофитина  $a$  и хлорина  $e_6$  квантовый выход фосфоресценции практически такой же, как и у феофитина  $a$  ( $3.4 \cdot 10^{-5}$ ), однако если у мезофеофитина  $a$  вероятности  $p$  и  $q$  примерно такие же как у феофитина  $a$ , то у хлорина  $e_6$   $p$  в 2 раза меньше, но зато и вероятность  $q$  падает. У мезохлорофилла  $a$  выход фосфоресценции примерно в 2 раза выше, чем у хлорофилла  $a$  [4], причем это возрастание обусловлено только уменьшением вероятности  $q$ . Квантовый выход фосфоресценции цинковых комплексов хлорина  $e_6$  и мезофеофитина  $a$  практически одинаков и в 2 раза выше, чем у Zn-феофитина  $a$  [4], причем, как и в случае мезохлорофилла  $a$ , это обусловлено в основном уменьшением вероятности  $q$ . При рассмотрении значений квантовых выходов флуоресценции в случае мезофеофитина  $a$  и его металлокомплексов обращает на себя внимание существенное возрастание  $\rho$  по сравнению с феофитином  $a$  и его аналогичными металлокомплексами [4]. В работе [4] для объяснения возрастания выхода флуоресценции у хлорофилла  $a$ , феофитина  $a$  и Zn-феофитина  $a$  при понижении температуры предполагалось, что уровень  $T_3$  расположен незначительно выше уровня  $S_1$ . По-видимому, произведенные структурные изменения в случае мезохлорофилла приводят к значительному повышению уровня  $T_3$  относительно  $S_1$ , и поэтому термически активируемый безызлучательный переход  $S_1 \rightleftharpoons T_3$  не играет роли, что приводит к уменьшению выхода интерконверсии и возрастанию выхода флуоресценции.

Необходимо отметить, что спектрально-люминесцентные характеристики и вероятности интеркомбинационных переходов, полученные нами для Zn-хлорина  $e_6$  (см. таблицу), отличаются от данных, приведенных в работе [11]. Спектры люминесценции в работе [11] смещены в коротковолновую сторону, а выход фосфоресценции  $\varphi$  более чем на порядок выше в сравнении с полученными нами для Zn-хлорина  $e_6$  и ряда других цинковых комплексов феофитинов. Вероятно, в процессе синтеза цинкового комплекса, исследованного в работе [11], произошло нарушение структуры хлорина  $e_6$ .

Выполненные в настоящей работе исследования существенно дополняют результаты, полученные для хлорофиллов, феофитинов и их цинковых комплексов.

Полученные результаты подтверждают развивающиеся нами представления об инверсии уровней  $T_1$  и  $T_2$  молекул хлорофилла под действием внешних факторов, которая может иметь биологическое значение. Кроме того, из полученных данных следует, что роль винильной группы в молекуле хлорофилла *a* может сводиться к повышению эффективности заселения триплетных состояний, которые, по нашему мнению, должны участвовать в процессе фотосинтеза.

Авторы выражают благодарность М. В. Саржевской и В. П. Субочу за любезно предоставленные мезохлорофилл *a* и хлорин  $e_6$  и А. Е. Турковой за получение Mg-хлорина  $e_6$ .

#### Литература

- [1] С. С. Дворников, В. Н. Кнюкшто, А. Н. Севченко, К. Н. Соловьев, М. П. Цвирко. ДАН СССР, 240, 1457, 1978.
- [2] С. С. Дворников, В. Н. Кнюкшто, А. Н. Севченко, К. Н. Соловьев, М. П. Цвирко. ДАН СССР, 242, 1060, 1978.
- [3] S. S. Dvornikov, V. N. Knyuksho, K. N. Solouyov, M. P. Tsvirko. J. Luminescence, 18/19, 491, 1979.
- [4] С. С. Дворников, В. Н. Кнюкшто, К. Н. Соловьев, М. П. Цвирко. Опт. и спектр., 46, 689, 1979.
- [5] L. J. Boucher, J. J. Katz. J. Am. Chem. Soc., 89, 4703, 1967.
- [6] M. Strell, T. Urumov. Liebigs Ann. Chem., 6, 970, 1977.
- [7] K. N. Solouyov, A. T. Gradyushko, M. P. Tsvirko, V. N. Knyuksho. J. Luminescence, 14, 365, 1976.
- [8] J. R. Platt. In: Radiation Biology, Ed. A. Hollaender, Vol. III, 71, McGraw-Hill, New York, 1956.
- [9] А. Т. Градюшко, К. Н. Соловьев, М. П. Цвирко. Опт. и спектр., 44, 1123, 1978.
- [10] А. Т. Градюшко, К. Н. Соловьев, М. П. Цвирко. Опт. и спектр., 41, 57, 1976.
- [11] А. Т. Градюшко, К. Н. Соловьев, М. П. Цвирко. Биофизика, 23, 757, 1978.

Поступило в Редакцию 18 февраля 1980 г.